

Ewa TULISZKA-SZMITKO

Instytut Techniki Ciepłej i Silników Spalinowych
Politechnika PoznańskaPRZEPIŁYW CZYNNIKA ŚCIŚLIWEGO WOKÓŁ WALCA^{x)}

Streszczenie. W pracy podano koncepcje rozwiązania przepływu ściśliwego wokół walca. Do opisu omawianego przepływu użyto równań Eulera, równania ciągłości i równania energii.

Problem przepływu płaskiego czynnika ściśliwego przez palisadę łopatkową lub wokół pojedynczego profilu rozwiązywany jest często metodą odwzorowania konforemnego transformującego obszar o skomplikowanym kształcie na obszar o kształcie prostym. W przypadku omawianych zagadnień przepływowych /przepływ przez palisadę lub wokół pojedynczego profilu/ w wyniku transformacji konforemnej otrzymujemy koło. Z tego punktu widzenia bardzo istotnym zagadnieniem jest rozwiązanie przepływu wokół walca.

Prezentowany artykuł zawiera koncepcje rozwiązywania przepływu stacjonarnego, poddźwiękowego czynnika ściśliwego i nielepkiego wokół walca przy napływie jednorodnym w nieskończoności.

Do opisu omawianego przepływu użyto następujący układ równań:

równanie Eulera w kierunku x i y

$$u \frac{\partial u}{\partial x} + v \frac{\partial u}{\partial y} = - \frac{1}{\rho} \frac{\partial P}{\partial x} \quad /1/$$

$$u \frac{\partial v}{\partial x} + v \frac{\partial v}{\partial y} = - \frac{1}{\rho} \frac{\partial P}{\partial y} \quad /2/$$

równanie ciągłości:

$$\frac{\partial(\rho u)}{\partial x} + \frac{\partial(\rho v)}{\partial y} = 0 \quad /3/$$

równanie energii

$$\frac{u^2 + v^2}{2} + \frac{h}{h-1} \frac{P}{\rho} = \frac{h}{h-1} \frac{P_0}{\rho_0} \quad /4/$$

x) Artykuł stanowi fragment rozprawy doktorskiej "Przepływ transoniczny przez palisadę płaską" wykonywanej pod kierunkiem prof. W.J. Prosnaka.

gdzie: u i v - są składowymi wektora prędkości odpowiednio w kierunku x i y ,

p - ciśnienie,

ρ - gęstość,

k - wykładnik izentropy,

ρ_0 i p_0 - gęstość i ciśnienie stanu stagnacji.

W pracy założono, że parametry przepływu czynnika ściśliwego p , ρ , u i v są sumą odpowiednich parametrów nieściśliwych p' , ρ' , u' , v' oraz pewnej wartości dodatkowej p_d , ρ_d , u_d , v_d .

$$u = u' + u_d \quad /5/$$

$$v = v' + v_d \quad /6/$$

$$p = p' + p_d \quad /7/$$

$$\rho = \rho' + \rho_d \quad /8/$$

Po wprowadzeniu zależności /5/, /6/, /7/, /8/ do równań /1/, /2/, /3/, /4/ otrzymujemy:

$$(u + u_d) \frac{\partial(u + u_d)}{\partial x} + (v + v_d) \frac{\partial(u + u_d)}{\partial y} = - \frac{1}{\rho + \rho_d} \frac{\partial(p + p_d)}{\partial x} \quad /9/$$

$$(u + u_d) \frac{\partial(v + v_d)}{\partial x} + (v + v_d) \frac{\partial(v + v_d)}{\partial y} = - \frac{1}{\rho + \rho_d} \frac{\partial(p + p_d)}{\partial y} \quad /10/$$

$$\begin{aligned} (\rho + \rho_d) \frac{\partial(u + u_d)}{\partial x} + (u + u_d) \frac{\partial(\rho + \rho_d)}{\partial x} + (\rho + \rho_d) \frac{\partial(v + v_d)}{\partial y} + \\ + (v + v_d) \frac{\partial(\rho + \rho_d)}{\partial y} = 0 \end{aligned} \quad /11/$$

$$\frac{(u + u_d)^2 + (v + v_d)^2}{2} + \frac{k}{k-1} \frac{p + p_d}{\rho + \rho_d} = \frac{k}{k-1} \frac{p_0}{\rho_0} \quad /12/$$

W powyższych wzorach pominięto dla prostoty zapisu znak prim nad parametrami nieściśliwymi. Oznaczenia te będą stosowane w dalszej części artykułu.

Uzyskany układ równań jest silnie nieliniowy. W celu zlinearyzowania przyjęto następujące uproszczenie:

$$\frac{1}{\rho + \rho_d} = \frac{1}{\rho} \frac{1}{1 + \frac{\rho_d}{\rho}} \approx \frac{1}{\rho} \left(1 - \frac{\rho_d}{\rho}\right) \quad /13/$$

Związek /13/ obowiązuje, gdy stosunek ρ_d/ρ jest dużo mniejszy od jedności. W zakresie prędkości poddźwiękowych a nawet transonicznych warunk ten

jest spełniony. Przy stosowaniu równania /13/ do równań /9/, /10/, /11/, /12/ oraz po wykorzystaniu zależności obowiązujących dla przepływu nieściśliwego układ równań przybiera postać:

$$u \frac{\partial u_d}{\partial x} + u_d \frac{\partial u}{\partial x} + u_d \frac{\partial u_d}{\partial x^2} + v \frac{\partial u_d}{\partial y} + v_d \frac{\partial u}{\partial y} + v_d \frac{\partial u_d}{\partial y^2} = - \frac{1}{\rho} \frac{\partial p_d}{\partial x} + \frac{1}{\rho^2} \rho_d \frac{\partial p}{\partial x} + \frac{1}{\rho^2} \rho_d \frac{\partial p_d}{\partial x^2} \quad /14/$$

$$u \frac{\partial v_d}{\partial x} + u_d \frac{\partial v}{\partial x} + u_d \frac{\partial v_d}{\partial x^2} + v \frac{\partial v_d}{\partial y} + v_d \frac{\partial v}{\partial y} + v_d \frac{\partial v_d}{\partial y^2} = - \frac{1}{\rho} \frac{\partial p_d}{\partial y} + \frac{1}{\rho^2} \rho_d \frac{\partial p}{\partial y} + \frac{1}{\rho^2} \rho_d \frac{\partial p_d}{\partial y^2} \quad /15/$$

$$u \frac{\partial \rho_d}{\partial x} + v \frac{\partial \rho_d}{\partial y} + \rho \frac{\partial u}{\partial x} + \rho \frac{\partial v}{\partial y} = 0 \quad /16/$$

$$u u_d + v v_d + \frac{u_d^2 + v_d^2}{2} + \frac{\mu}{\mu-1} \left(\frac{p_d}{\rho} - \frac{p \rho_d}{\rho^2} - \frac{p_d \rho_d}{\rho^2} \right) = 0 \quad /17/$$

Powyższy układ równań rozwiązywany jest metodą iteracyjną. W pierwszym przybliżeniu pominięto wielkości o rząd mniejsze, a mianowicie:

$$u_d \frac{\partial u_d}{\partial x}, \quad v_d \frac{\partial u_d}{\partial y}, \quad u_d \frac{\partial v_d}{\partial x}, \quad v_d \frac{\partial v_d}{\partial y}, \quad \frac{1}{\rho^2} \rho_d \frac{\partial p_d}{\partial x}, \quad \frac{1}{\rho^2} \rho_d \frac{\partial p_d}{\partial y}, \quad \rho_d \frac{\partial u}{\partial x}, \quad u_d \frac{\partial \rho_d}{\partial x}, \quad \rho_d \frac{\partial v}{\partial y}, \quad u_d \frac{\partial \rho_d}{\partial y}, \quad \frac{u_d^2 + v_d^2}{2}, \quad \frac{\mu}{\mu-1} \frac{p_d \rho_d}{\rho^2} \quad /18/$$

Wyrażenia te będą uwzględnione w następnych iteracjach.

Kolejne przekształcenie układu równań /14/, /15/, /16/, /17/ polega na wyznaczeniu ρ_d z równania energii /17/, obliczeniu pochodnych $\frac{\partial \rho_d}{\partial x}$ i $\frac{\partial \rho_d}{\partial y}$ oraz wprowadzeniu tych zależności do równań /14/, /15/, /16/.

$$\rho_d = \frac{\mu-1}{\mu} \frac{\rho^2}{p} (u u_d + v v_d) + \frac{\rho}{p} p_d \quad /19/$$

Po wprowadzeniu uproszczeń /18/, zależności /19/ oraz po przejściu na układ współrzędnych biegunowych R, θ układ równań /14/, /15/, /16/ przybiera następującą postać:

$$a u_d + b v_d - c p_d + \frac{\partial u_d}{\partial R} (u R_x + v R_y) + \frac{\partial u_d}{\partial \theta} (u \theta_x + v \theta_y) + \frac{\partial p_d}{\partial R} R_x \frac{1}{\rho} + \frac{\partial p_d}{\partial \theta} \theta_x \frac{1}{\rho} = 0 \quad /20/$$

$$e u_d + f v_d - g p_d + \frac{\partial v_d}{\partial R} (u R_x + v R_y) + \frac{\partial v_d}{\partial \theta} (u \theta_x + v \theta_y) +$$

$$+ \frac{\partial p_d}{\partial R} R_y \frac{1}{\rho} + \frac{\partial p_d}{\partial e} e_y \frac{1}{\rho} = 0 \quad /21/$$

$$1 \cdot u_x - 1 \cdot v_x + r \cdot p_d + \frac{\partial u_c}{\partial R} [j R_x + k R_y] + \frac{\partial u_c}{\partial e} [j e_x + k e_y] + \\ + \frac{\partial v_d}{\partial R} [k R_x + n R_y] + \frac{\partial v_d}{\partial e} [k e_x + n e_y] + \frac{\partial p_d}{\partial R} [n R_x + s R_y] + \\ + \frac{\partial p_d}{\partial e} [e_x n + s e_y] = 0 \quad /22/$$

gdzie:

$$e = \frac{\partial u}{\partial x} - \frac{\partial p}{\partial x} \frac{d-1}{d} \frac{u}{p}$$

$$v = \frac{\partial u}{\partial y} - \frac{\partial p}{\partial x} \frac{d-1}{d} \frac{v}{p}$$

$$e = \frac{\partial v}{\partial x} - \frac{\partial p}{\partial y} \frac{d-1}{d} \frac{u}{p}$$

$$v = \frac{\partial v}{\partial y} - \frac{\partial p}{\partial y} \frac{d-1}{d} \frac{v}{p}$$

$$c = \frac{1}{\rho} \frac{\partial p}{\partial x}$$

$$d = \frac{1}{\rho} \frac{\partial p}{\partial x}$$

$$e = \frac{d-1}{d} \frac{\rho^2 u^2}{p} + \rho$$

$$n = \frac{d-1}{d} \frac{\rho^2 v^2}{p} + \rho$$

$$r = u \frac{\rho}{p}$$

$$s = v \frac{\rho}{p}$$

$$r = \left[-\frac{\rho}{p^2} (v P_y + u P_x) \right]$$

$$k = \frac{d-1}{d} \frac{\rho^2}{p} u v$$

$$j = \frac{d-1}{d} \frac{\rho^2}{p^2} \left(\frac{\partial u}{\partial x} - u p - u^2 \frac{\partial p}{\partial x} + v \frac{\partial u}{\partial y} p - \frac{\partial p}{\partial y} u v \right)$$

$$l = \frac{d-1}{d} \frac{\rho^2}{p^2} \left(u p \frac{\partial v}{\partial x} - u v \frac{\partial p}{\partial x} + v p \frac{\partial v}{\partial y} - v^2 \frac{\partial p}{\partial y} \right)$$

Występujące w zależnościach /23/ wielkości u , v , p , ρ oraz pochodne $\frac{\partial u}{\partial x}$, $\frac{\partial u}{\partial y}$, $\frac{\partial v}{\partial x}$, $\frac{\partial v}{\partial y}$, $\frac{\partial p}{\partial x}$, $\frac{\partial p}{\partial y}$ są wielkościami znanymi z przepływu niesściśliwego wokół walca. Pochodne R_x , R_y , e_x , e_y wynikają z zmiany układu współrzędnych i wynoszą odpowiednio:

$$\frac{\partial R}{\partial x} = \cos \theta$$

$$\frac{\partial R}{\partial y} = \sin \theta$$

$$\frac{\partial \Phi}{\partial x} = - \frac{\sin \theta}{R} \quad /23a/$$

$$\frac{\partial \Phi}{\partial y} = \frac{\cos \theta}{R}$$

Układ równań /20/, /21/, /22/ rozwiązywany jest za pomocą różnic skończonych /centralnych/ w obszarze prostokątnym /rys. 2/ przy następujących warunkach brzegowych:

a/ $R \rightarrow \infty$ $u_d = v_d = p_d = 0$

b/ w punkcie spływu $v_d = u_d = 0$

c/ na obwodzie walca prędkość normalna do ciała równa jest zero.

Warunek ten sprowadza się do następującej zależności obowiązującej na walcu:

$$\frac{u_d}{v_d} = \frac{u}{v} \quad /24/$$

Omawiany układ równań zapisujemy w postaci równania macierzowego:

$$A \cdot X = B \quad /25/$$

gdzie:

A - jest macierzą blokową siedmiopasmową a jej elementy są macierzami kwadratowymi 3×3

$$A_{ij} = \begin{pmatrix} a_{11} & a_{12} & a_{13} \\ a_{21} & a_{22} & a_{23} \\ a_{31} & a_{32} & a_{33} \end{pmatrix}_{ij}$$

Poszczególne elementy macierzy A_{ij} są funkcjami zmiennych R i θ .

X - wektor niewiadomych /jego elementy X_i są macierzami prostokątnymi 3×1 /

$$X_i = \begin{pmatrix} u_d \ i \\ v_d \ i \\ p_d \ i \end{pmatrix}$$

B - wektor o elementach B_i / B_i - macierz prostokątna 3×1 /

Równanie /25/ rozwiązywane jest metodą eliminacji Gaussa.

Przedstawiony schemat obliczeń dotyczy pierwszego przybliżenia. Każde kolejne przybliżenie /k + 1/ wyznaczane jest z uwzględnieniem członów /18/ pominiętych w przybliżeniu pierwszym. Po uwzględnieniu tych zmian gęstość ρ_d , wyznaczana z równania energii /17/, określona jest zależnością:

$$\varrho_d^{k+1} = \frac{n-1}{n} \frac{\varrho^2}{p} (u_d^{k+1} + v_d^{k+1} v) + \frac{\varrho}{p} p_d^{k+1} + t^k \quad /26/$$

$$\text{gdzie: } t^k = \frac{1}{p} \frac{n-1}{n} \varrho^2 [(u_d^k)^2 + (v_d^k)^2] - \frac{p_d^k \varrho_d^k}{p} \quad /27/$$

Parametry u_d , v_d , p_d z indeksem k (u_d^k , v_d^k , p_d^k) oznaczają wielkości ustalone w poprzedniej iteracji. Równania /20/, /21/, /22/ dla iteracji $k+1$ przybierają następującą postać:

$$\begin{aligned} u_d^{k+1} a + v_d^{k+1} b - p_d^{k+1} c + \frac{\partial u_d}{\partial R} [(u + u_d) R_x + (v + v_d) R_y] + \\ + \frac{\partial u_d}{\partial \varrho} [(u + u_d^k) e_x + (v + v_d^k) e_y] + \frac{\partial p_d}{\partial R} R_x p c + \frac{\partial p_d}{\partial \varrho} e_x p c = d1 \end{aligned} \quad /28/$$

$$\begin{aligned} u_d^{k+1} e + v_d^{k+1} f - p_d^{k+1} g + \frac{\partial v_d}{\partial R} [(u + u_d^k) R_x + (v + v_d^k) R_y] + \\ + \frac{\partial v_d}{\partial \varrho} [(u + u_d) e_x + (v + v_d) e_y] + \frac{\partial p_d}{\partial R} R_y p c + \frac{\partial p_d}{\partial \varrho} e_y p c = d2 \end{aligned} \quad /29/$$

$$\begin{aligned} u_d^{k+1} ii + v_d^{k+1} ll + p_d^{k+1} rr + \frac{\partial u_d}{\partial R} [jj R_x + k2 R_y] + \\ + \frac{\partial u_d}{\partial \varrho} [jj e_x + k2 e_y] + \frac{\partial v_d}{\partial R} [k1 R_x + mm R_y] + \\ + \frac{\partial v_d}{\partial \varrho} [k1 e_x + mm e_y] + \frac{\partial p_d}{\partial R} [nn R_x + ss R_y] + \frac{\partial p_d}{\partial \varrho} [nn e_x + ss e_y] + \\ + p t^k = 0 \end{aligned} \quad /30/$$

gdzie: współczynniki a , b , c , e , f , g określone są zgodnie ze wzorami /23/, natomiast $p c$, $d1$, $d2$, ii , ll , rr , jj , $k2$, $k1$, mm , nn , ss , $p t$ obliczymy z następujących zależności:

$$ii = i + \frac{n-1}{n} \left\{ u_d^k \left(\frac{\varrho^2}{p} \frac{\partial u}{\partial x} - \frac{\varrho^2}{p^2} \frac{\partial p}{\partial x} u \right) + v_d^k \left(\frac{\varrho^2}{p} \frac{\partial u}{\partial y} - \frac{\varrho^2}{p^2} \frac{\partial p}{\partial y} u \right) \right\}$$

$$ll = l + \frac{n-1}{n} \left\{ u_d^k \left(\frac{\varrho^2}{p} \frac{\partial v}{\partial x} - \frac{\varrho^2}{p^2} \frac{\partial p}{\partial x} v \right) + v_d^k \left(\frac{\varrho^2}{p} \frac{\partial v}{\partial y} - \frac{\varrho^2}{p^2} \frac{\partial p}{\partial y} v \right) \right\}$$

$$rr = r - u_d^k \frac{\varrho}{p^2} \frac{\partial p}{\partial x} - v_d^k \frac{\varrho}{p^2} \frac{\partial p}{\partial y}$$

$$jj = j + u_d^k \frac{n-1}{n} \frac{\varrho^2}{p} u + \varrho_d$$

$$mm = m + v_d^k \frac{n-1}{n} \frac{\varrho^2}{p} v + \varrho_d^k \quad /31/$$

$$k1 = k + u_d^k \frac{n-1}{n} \frac{\varrho^2}{p} v$$

$$k_2 = k + v_d^k \frac{H-1}{H} \frac{g^2}{p} u$$

$$n_n = n + u_d^k \frac{g}{p}$$

$$s_s = s + v_d^k \frac{g}{p}$$

$$p_t = (u + u_d^k) \frac{\partial t^k}{\partial x} + (v + v_d^k) \frac{\partial t^k}{\partial y}$$

W równaniach /31/ wielkości i, l, r, j, m, k, n, s , określone są równaniami /23/.

Pierwsze wyniki uzyskane z rozwiązania układu równań /28/, /29/, /30/ pozwalają mieć nadzieję, że zastosowany proces iteracyjny będzie szybko-zbieżny. Należy również przypuszczać, że metoda po przeniesieniu na obszar w płaszczyźnie zespolonej oraz po uwzględnieniu zmian wynikających z odwzorowania konforemego [1], dotyczących między innymi równań /23a/ punktu spływu, oraz wartości parametrów dla przepływu nieściśliwego, będzie mogła być zastosowana do rozwiązywania przepływu przez palisadę łopatkową lub wokół pojedynczego profilu.

LITERATURA

- [1] W.J. Prosnak: "Teoria układu profilów lotniczych". WPAN 1981.

ПРОПЛЕВ ОКЖМАЕМОЙ ЖИДКОСТИ ВОКРУГ ЦИЛИНДРА

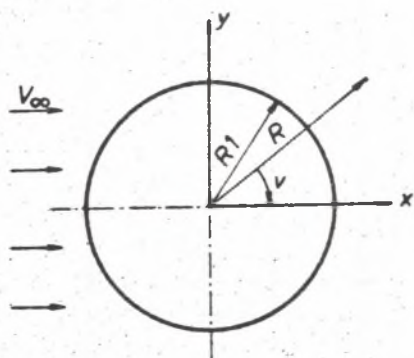
Р е з ю м е

В статье представлено концепция решения проблемы обжимаемой жидкости вокруг цилиндра. К описанию этой проблемы употреблено уравнение Эйлера, уравнение непрерывности и уравнение энергии.

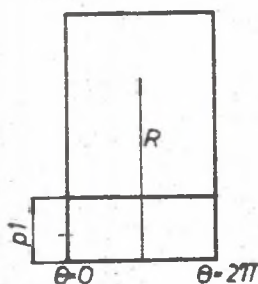
COMPRESSIBLE FLOW AROUND A CYLINDER

С о ж м е н и е

The paper presents the method of calculation compressible flow around a cylinder. Flow of fluid has been described by the equations of Euler, by the equation of flow continuity and by the equation of energy balance.



Rys. 1. Schemat układu współrzędnych (x, y) i (R, θ)



Rys. 2. Obszar rozwiązywania układu równań /28/, /29/, /30/ metodą różnic skończonych